top

Кочкина Екатерина Николаевна Вклад различных изоформ IP₃-рецептора в Ca²⁺-сигнализацию в клетках НЕК-293

1.5.2. — Биофизика

АВТОРЕФЕРАТ

диссертации на соискание учёной степени кандидата биологических наук

Работа выполнена в Федеральном государственном бюджетном учреждении науки «Федеральный исследовательский центр «Пущинский научный центр биологических исследований Российской академии наук»

доктор биологических наук, профессор Научный руководитель:

Колесников Станислав Сергеевич

Официальные оппоненты: Авдонин Павел Владимирович

доктор биологических наук, профессор,

Институт биологии развития им. Н.К. Кольцова РАН, заведующий лабораторией физиологии рецепторов и

сигнальных систем.

Сибаров Дмитрий Александрович

кандидат биологических наук, Институт эволюционной физиологии и биохимии им. И. М. Сеченова РАН,

ведущий научный сотрудник лаборатории сравнительной

нейрофизиологии.

Федеральное государственное бюджетное научное Ведущая организация:

учреждение «Научно-исследовательский институт общей

патологии и патофизиологии»

Защита диссертации состоится	2025 года в 14 ч 00 мин на
заседании диссертационного совета 24.1.232.01	$\overline{(Д \ 002.285.01)}$, созданного на базе
Федерального государственного бюджетного	учреждения науки «Федеральный
исследовательский центр «Пущинский научный	центр биологических исследований
Российской академии наук» по адресу: 142290, Моск	совская область, г. Серпухов, г. Пущино,
ул. Институтская, д. 3.	

С диссертацией можно ознакомиться в библиотеке «Федеральный исследовательский центр «Пущинский научный центр биологических исследований Российской академии наук» по адресу: 142290 г. Пущино, ул. Институтская, д. 3. и на сайте http://www.icb.pbcras.ru/

Автореферат разослан «___» ____ 2025 года.

Учёный секретарь диссертационного совета, д.б.н.

Оем Дегтярева Ольга Васильевна

ОБЩАЯ ХАРАКТЕРИСТИКА РАБОТЫ

Актуальность В исследования. многоклеточных организмах функционирование тканей И органов во многом детерминируется аутокринными и паракринными регуляциями, которые включают секрецию сигнальных молекул (первичных медиаторов) и их распознавание рецепторами разнообразными сопряжёнными внутриклеточными плазмалеммы, сигнальными каскадами. Ключевую роль в межклеточных коммуникациях и регуляции клеточных функций играют гептаспиральные рецепторы (G-protein coupled receptor, GPCR), сигнальная функция которых в значительной степени реализуется за счёт сопряжения с G-белками.

Среди разнообразных процессов, инициируемых внешними стимулами в цитозоле клеток, мобилизация внутриклеточного Са²⁺ играет центральную роль в трансдукции сигналов многих первичных медиаторов, которые действуют через GPCR-рецепторы, сопряжённые G-белками с фосфоинозитидным каскадом (Lemmon, Schlessinger, 2010, Berridge, 2016). В этом случае, ключевым событием является внутриклеточным агонист-зависимая фосфолипазы С (PLC) (Lemmon, Schlessinger, 2010, Huang, Reichardt, 2003), липид-предшественник фосфатидилинозитол-4,5которая гидролизует бисфосфат (PIP₂), тем самым продуцируя два вторичных мессенджера IP₃ (инозитол-1,4,5-трифосфат) и диацилглицерин (DAG). Функция значительной степени сводится к стимуляции IP₃-рецепторов (IP₃R) высвобождению Ca^{2+} из Ca^{2+} -депо (Berridge, 2016). IP_3 -рецепторы представляют Ca^{2+} -активируемые Ca^{2+} -каналы, собой IP₃функционирующие преимущественно на мембране эндоплазматического ретикулума (ЭР). ІР₃рецепторы функционируют в виде гомо- или гетеротетрамерных канальных комплексов субъединиц (изоформ) IP₃R1, IP₃R2 и IP₃R3 (Berridge, 2016, Prole, Mikoshiba, 2020). 2019, Hamada, Субъединицы ІР₃-рецептора кодируются тремя генами, которые подвергаются альтернативному сплайсингу, гетерогенность что также увеличивает популяции IP₃-рецепторов, функционирующих в клетках (Mikoshiba, 2007, Foskett et al., 2007).

Клетки большинства типов экспрессируют два или все три гена IP_3 -рецепторов (*Foskett et al.*, 2007). Это указывает на то, что одна конкретная изоформа IP_3 -рецептора не способна обеспечить все аспекты агонистиндуцируемой IP_3/Ca^{2+} -сигнализации, документированные в экспериментах (*Berridge*, 2016). Профиль экспрессии индивидуальных изоформ IP_3 -рецепторов в разных тканях и типах клеток различается, что предполагает специфическую роль отдельных подтипов IP_3 -рецепторов или их комбинаций в физиологии клеток (*Foskett et al.*, 2007). Так, IP_3R1 , как правило, является доминантной изоформой в нейронах (*Woll, Petegem*, 2022) и ооцитах (*Parys et al.*, 2021). IP_3R2

экспрессируется на высоком уровне в гепатоцитах (*Kerkhofs et al.*, 2018), глиальных клетках, кардиомиоцитах и секреторных клетках различных типов (*Parys et al.*, 2021), а IP_3R3 — в быстро пролиферирующих, таких как эпителиальные клетки, а также в бета-клетках поджелудочной железы (*Kerkhofs et al.*, 2018). Будучи достаточно высоко гомологичными по первичным последовательностям (55–75%), изоформы IP_3 -рецепторов существенно различаются по чувствительности к IP_3 и Ca^{2+} и по механизмам регуляции (*Hamada, Mikoshiba,* 2020, *Foskett et al.*, 2007, *Parys, Vervliet,* 2020).

Ряд исследований, проведённых в нашей лаборатории ранее (Kotova et al., 2014, 2018, Cherkashin et al., 2022) и выполненных в рамках данной работы, позволили установить, что многие клетки (СНО, НЕК-293, МСК) отвечают на различные агонисты GPCR-рецепторов, мобилизующие внутриклеточный Ca²⁺, по принципу «всё или ничего». Другими словами, кратковременная аппликация таких агонистов в малых (подпороговых) дозах не приводила к детектируемому увеличению концентрации внутриклеточного Ca^{2+} , тогда как агонисты в Ca²⁺-сигналы пороговую, инициировали концентрации, превышающей (изменение внутриклеточной концентрации Ca^{2+} , Ca^{2+} -ответы), амплитуда и форма переднего фронта которых были сходны при различных надпороговых концентрациях агониста. Поскольку это явление наблюдалось нами в клетках нескольких типов и при стимуляции различными агонистами, можно говорить об универсальности механизмов, обеспечивающих это свойство Ca²⁺-сигналов, инициируемых лигандами GPCR-рецепторов. В своей совокупности наши результаты, в том числе полученные в данной работе, свидетельствовали о том, что во всех случаях конечным событием в цепи трансдукции сигналов использовавшихся агонистов был Ca²⁺-индуцируемый выброс депонированного Ca²⁺ (Ca²⁺-induced Ca²⁺ release, CICR) через IP₃-рецепторы. CICR — это регенеративный триггерный процесс, который, будучи запущенным, приводит к генерации глобального Са²⁺-сигнала, слабо зависящего от инициирующих воздействий, т.е. от агонист-зависимой генерации IP₃ (Kaimachnikov et al., 2021). Именно этим можно объяснить, почему агонисты GPCR инициировали сходные по форме и идентичные по амплитуде Са²⁺-сигналы вне зависимости от дозы выше пороговой. Следует отметить, что в упомянутых выше клетках экспрессируются IP₃-рецепторов. все три изоформы оставалось неясным, может ли каждая изоформа ІР3-рецепторов обеспечивать CICR со свойствами, необходимыми для генерации Ca²⁺-ответов по механизму «всё или ничего», или на это способна лишь определенная комбинация IP₃рецепторов различных типов.

Ранее в нашей лаборатории на основе линии клеток HEK-293 были получены моноклональные клеточные линии IP₃R1-HEK, IP₃R2-HEK, IP₃R3-

НЕК, в клетках которых функционирует только IP_3R1 , IP_3R2 или IP_3R3 изоформа, соответственно, а также линия ТКО-НЕК, в клетках которой полностью отсутствуют функционирующие IP_3 -рецепторы. Наличие клеток, в которых функциональны IP_3 -рецепторы только одного типа, обеспечивает возможность ответить на вопрос, сформулированный выше, а также на ряд других, относящихся к анализу механизмов регуляции индивидуальных изоформ IP_3 -рецепторов и их роли в Ca^{2+} -гомеостазе и агонист-индуцируемой Ca^{2+} -сигнализации. В контексте сказанного, были сформулированы следующие цели и задачи данного исследования.

Цель работы: изучить Ca^{2+} -сигнализацию, индуцированную внешними стимулами в клетках линии HEK-293 (WT-HEK) и производных IP_3R1 -HEK, IP_3R2 -HEK, IP_3R3 -HEK, TKO-HEK, и выявить её закономерности, ассоциированные со свойствами индивидуальных изоформ IP_3 -рецептора.

Задачи работы:

- 1. На примере ацетилхолина (ACh) проанализировать механизмы генерации клеточных ответов на агонисты и, в частности, очертить роль фосфоинозитидного каскада и механизма CICR, оценить вклад входа наружного Ca^{2+} и выброса депонированного Ca^{2+} , как основных источников внутриклеточных Ca^{2+} -сигналов.
- 2. Провести сравнительный анализ Ca^{2+} -сигнализации в клетках моноклональных линий IP_3R1 -HEK, IP_3R2 -HEK и IP_3R3 -HEK и оценить относительный вклад каждой из изоформ IP_3 -рецептора в генерацию индуцированных Ca^{2+} -сигналов.
- 3. Оценить вклад индивидуальных изоформ IP_3 -рецептора в утечку Ca^{2+} из эндоплазматического ретикулума (ЭР) с использованием тапсигаргинового теста.
 - 4. Разработать методологию для оценки уровня Ca^{2+} в ЭР.

Научная новизна

Благодаря использованию новых моноклональных клеточных линий с единственной функциональной изоформой IP_3 -рецептора (IP_3R1 -HEK, IP_3R2 -HEK, IP_3R3 -HEK), экспрессирующих генетически-кодируемый Ca^{2+} -сенсор R-CEPIA1er с ретикулярной локализацией, а также клеток ТКО-НЕК, лишённых функциональных IP_3 -рецепторов, выявлены новые аспекты функционирования индивидуальных изоформ IP_3 -рецептора, в частности, оценен их вклад в Ca^{2+} -гомеостаз и в трансдукцию агонистов (ACh) по фосфоинозитидному пути.

Впервые показано, что клетки линий с единственной изоформой, как и клетки дикого типа, генерируют полноценные Ca^{2+} -ответы на ACh по принципу

«всё или ничего», что свидетельствует о способности каждой изоформы поддерживать выброс депонированного Ca^{2+} по механизму CICR (Ca^{2+} индуцированный выброс Ca^{2+} из депо).

Впервые показано, что в нестимулированных клетках спонтанная активность IP_3 -рецепторов в соответствии с рядом IP_3R2 -HEK > IP_3R3 -HEK вносит вклад в Ca^{2+} -проницаемость мембран ретикулума и определяет долю утечки Ca^{2+} из депо.

В результате одновременного мониторинга изменения концентрации Ca^{2+} в цитозоле и ретикулуме в клетках с единственной изоформой IP_3 -рецептора с использованием генетически-кодируемого сенсора R-CEPIA1er впервые получено экспериментальное свидетельство того, что уровень Ca^{2+} в ЭР в нестимулированных клетках коррелирует с Ca^{2+} -утечкой.

Теоретическая и практическая значимость работы

Проведённые в данной работе исследования вклада различных изоформ IP_3 -рецептора в Ca^{2+} -сигнализацию расширяют современные представления о системе Ca^{2+} -гомеостаза и механизмах генерации агонист-индуцированных Ca^{2+} -сигналов в клетках человека. В частности, установлено, что любая из изоформ IP_3 -рецептора способна обеспечить генерацию Ca^{2+} -ответов по принципу «всё или ничего» при стимуляции ACh.

Разработана методология на основе тапсигаргинового теста и интерпретирующей его математической модели, позволяющая оценивать относительную Ca^{2+} -проницаемость мембран ЭР в клетках человека.

Клетки линий IP_3R1 -HEK, IP_3R2 -HEK и IP_3R3 -HEK, а также их варианты, экспрессирующие генетически кодируемый сенсор ретикулярного Ca^{2+} , могут использоваться в качестве относительно простых и эффективных тест-систем для поиска фармакологических средств воздействия на IP_3 -рецепторы, а также для исследования механизмов их регуляции. В частности, анализ Ca^{2+} -гомеостаза и индуцированной Ca^{2+} -сигнализации в клетках IP_3R3 -HEK может способствовать пониманию причин, по которым вкусовые клетки типа II используют исключительно эту изоформу для трансдукции вкусовых стимулов.

Линия ТКО-НЕК, клетки которой не способны генерировать Ca^{2+} -сигналы в ответ на активацию GPCR-рецепторов, представляет собой полезную клеточную модель для изучения агонист-зависимого переключения GPCR-рецепторов с фосфоинозитидного каскада на другие внутриклеточные сигнальные пути.

Методология и методы исследования. Для достижения заявленной цели и решения поставленных задач были использованы современные методы биофизики и фотоники клетки. Объектом исследований являлись клетки линии НЕК-293 дикого типа (WT-HEK), клетки полученных на её основе

моноклональных линий IP_3R1 -HEK, IP_3R2 -HEK, IP_3R3 -HEK и TKO-HEK, а также клетки данных линий, экспрессирующие рекомбинантный генетически-кодируемый Ca^{2+} -сенсор R-CEPIA1er.

Мониторинг цитозольного Са²⁺ осуществляли с помощью метода микрофотометрии с использованием флуоресцентного Ca²⁺-зонда Fluo-8 AM. скачкообразного повышения концентрации Для внутриклеточного фоточувствительное проникающее через использовали И мембрану производное IP₃ caged-Ins(145)P3/PM, фотолиз которого вызывали вспышкой света ультрафиолетового диапазона (355 нм) с помощью лазера LCS-DTL-374QT.

Выносимые на защиту положения:

- 1. Мускариновый М3-рецептор обеспечивает чувствительность к ACh клеток линий WT-HEK, IP_3R1 -HEK, IP_3R2 -HEK, IP_3R3 -HEK, которые генерируют Ca^{2+} -ответы на ACh по принципу «всё или ничего».
- 2. Спонтанная активность IP_3 -рецепторов вносит вклад в утечку Ca^{2+} из депо: относительный вклад индивидуальных изоформ в Ca^{2+} -проницаемость мембраны $\Im P$ ранжируется как $IP_3R2 > IP_3R1 > IP_3R3$, что соответствует ряду вероятностей открытого состояния IP_3 -рецепторов в нестимулированных клетках.
- 3. С использованием разработанной методологии установлено, что уровень Ca^{2+} в ЭР в нестимулированных клетках коррелирует с Ca^{2+} -утечкой и описывается рядом IP_3R3 -HEK $\geq IP_3R1$ -HEK $> IP_3R2$ -HEK.

Личный вклад автора. Исследуемые в работе модифицированные клеточные линии получены Копыловой Е.Е. и Рогачевской О.А., оценки относительных уровней транскриптов получены Коваленко Н.П. Автор принимала непосредственное участие в постановке физиологических экспериментов, их выполнении, обработке и анализе полученных результатов, а также в подготовке научных публикаций. Материалы, вошедшие в работу, обсуждались и публиковались совместно с соавторами.

Степень достоверности апробация результатов. И Материалы были представлены на российских диссертации И международных конференциях: 24 Международная Пущинская школа-конференция молодых учёных «Биология — Наука XXI века» (2020, стендовый доклад), VII Съезд физиологов СНГ (2022, устный доклад), 26 Международная Пущинская школаконференция молодых учёных «Биология — Наука XXI века» (2023, стендовый доклад), XXIV съезд физиологического общества им. И.П. Павлова (2023, доклад), 27 Международная Пущинская школа-конференция молодых учёных «Биология — Наука XXI века» (2024, стендовый доклад), 28

Международная Пущинская школа-конференция молодых учёных «Биология — Наука XXI века» (2025, устный доклад).

Достоверность полученных результатов обеспечивается использованием современных методов биофизики клетки, апробированных и верифицированных ранее, воспроизводимостью измеряемых параметров в многочисленных измерениях и их статистической значимостью. Полученные в работе данные находятся в согласии с опубликованными результатами исследований в области, соответствующей проблематике диссертации.

Публикации. Содержание работы отражено в 13 публикациях, включая 4 статьи в рецензируемых научных журналах, входящих в перечень ВАК и международные базы данных (Scopus, WoS), 1 главу в книге "Calcium and Signal Transduction" (IntertechOpen, London) (Scopus, WoS), а также 8 тезисов конференций.

Структура и объём диссертации. Диссертация изложена на 92 страницах, включает 18 рисунков, 1 таблицу. Список литературы содержит 117 источников. Работа содержит следующие разделы: оглавление, введение, обзор литературы, материалы и методы, результаты и обсуждение, заключение, выводы, приложение, список литературы, список сокращений и список публикаций по теме диссертации.

МАТЕРИАЛЫ И МЕТОДЫ ИССЛЕДОВАНИЯ

Клеточные линии. В данной работе использовали клетки линии НЕК-293 (Российская коллекция клеточных культур позвоночных), а также их производные клетки IP₃R1-HEK, IP₃R2-HEK и IP₃R3-HEK с единственной функциональной изоформой IP₃-рецептора и клетки ТКО-НЕК, в которых IP₃-рецепторы не функциональны (т.к. не осуществляется синтез белка). Эти клеточные линии были получены нашими коллегами (*Копылова и др.*, 2023, *Быстрова и др.*, 2020). Для анализа изменений уровня депонированного Ca²⁺ клетки трансфицировали плазмидой, кодирующей сенсор R-CEPIA1er, который имел сигнал локализации в эндоплазматическом ретикулуме (*Suzuki et al.*, 2014).

Подготовка клеток к эксперименту. Снятые с культурального пластика клетки осаждали центрифугированием при 50 g в течение 45 с. Клетки прикрепляли с помощью адгезивного материала Cell Tak (BD Biosciences) на дно фотометрической камеры, представляющей собой покровное стекло (Menzel-Glaser) с пластиковыми бортиками, и затем загружали флуоресцентным Ca^{2+} -зондом Fluo-8. Для этого клетки инкубировали при комнатной температуре (23-25 °C) в присутствии проникающего через мембрану аналога Fluo-8 (ацетоксиметильного эфира Fluo-8 AM, 3 мкМ) и

детергента Pluronic F-127 (0,02%) (оба AAT Bioquest) в течение 20 мин. Затем клетки отмывали при 25 °C в течение 40 мин внеклеточным раствором следующего состава (мМ): 130 NaCl, 5 KCl, 2 CaCl₂, 1 MgSO₄, 10 HEPES, 0,05 EDTA, 10 глюкоза (все Sigma-Aldrich). Для скачкообразного повышения концентрации внутриклеточного IP₃ (IP₃-uncaging) использовали фоточувствительный и проникающий через мембрану предшественник IP₃ — садеd-Ins(145)P3/PM (SiChem, Германия), в этом случае клетки инкубировали в присутствии 3 мкМ Fluo-8 AM, 4 мкМ caged-Ins(145)P3/PM и 0,02% Pluronic F-127, как описано выше.

Методика и экспериментальная установка. Эксперименты проводили с использованием инвертированного флуоресцентного микроскопа Axiovert 135 (Zeiss), оборудованного объективом Fluar $20 \times /0,75$ (Zeiss) и цифровой EMCCD камерой LucaR (Andor Technology). Помимо осветителя проходящего света микроскоп был оборудован оптоволоконным осветителем для освещения через объектив. Один из входов бифуркационного оптического волокна соединяли с осветителем на сверхъярких диодах (340–630 нм) (*Хохлов и др.,* 2007) для возбуждения флуоресценции. Флуоресценцию Fluo-8 и R-CEPIA1er возбуждали на длинах волн 480 ± 5 нм и 572 ± 17 нм, соответственно, а эмиссию регистрировали в областях 535 ± 20 нм и 630 ± 30 нм, соответственно, что обеспечивало одновременный мониторинг цитозольного и депонированного Ca^{2+} .

флуоресцентные изображения регистрировали со Последовательные скоростью 1 кадр в секунду, в поле зрения камеры наблюдали 100–200 клеток. Ca^{2+} Изменение концентрации цитозольного ретикулярного индивидуальных клетках оценивали относительному изменению ПО интенсивности флуоресценции $\Delta F/F_0$ Fluo-8 и R-CEPIA1er, соответственно, где $\Delta F = F - F_0$, F и F_0 — текущая интенсивность эмиссии Fluo-8 (или R-CEPIA1er) и его эмиссия в начале регистрации, соответственно. Количественный фотометрический анализ изображений осуществляли с использованием программы NIS-Elements AR 5.30.01 (Nikon).

Импульсное повышение концентрации ІР₃ В цитоплазме клетки caged-Ins(145)P3/PM осуществляли путем фотолиза вспышкой света ультрафиолетового диапазона (355 нм). В соответствующих экспериментах клетки нагружали одновременно caged-Ins(145)P3/PM и Fluo-8. При этом один из входов бифуркационного оптического волокна соединяли с лазером LCS-DTL-374QT (Лазер-Экспорт, Россия), а второй подключали к осветителю для возбуждения флуоресценции Fluo-8.

Аппликация соединений и смена растворов в экспериментальной камере. Смену раствора в экспериментальной камере объёмом 200–300 мкл

производили со скоростью ~ 1 мл/с. Используемые соединения в необходимой концентрации растворяли во внеклеточном растворе. В начале эксперимента в течение 300 с регистрировали базовый уровень флуоресценции клеток, после чего апплицировали агонист, заменяя внеклеточный раствор на раствор с агонистом, а через 100–200 с отмывали трёхкратно (по 500 мкл) внеклеточным раствором. Следующую стимуляцию агонистом проводили через 300 с, что обычно соответствовало рефрактерному периоду Ca^{2+} -ответов на агонисты. Для снижения содержания Ca^{2+} во внеклеточном растворе, 2 мМ $CaCl_2$ заменяли на смесь 0.5 мМ EGTA и 0.4 мМ $CaCl_2$, что соответствовало снижению свободного Ca^{2+} с 2 мМ до 260 нМ, как это следует из расчётов программы Махсhelator. Растворы ингибиторов или антагонистов подавали за 200 с до аппликации раствора агониста.

Статистическая репрезентативность и обработка данных. Все представленные эффекты были продемонстрированы как минимум в трёх независимых экспериментах. Для построения графиков и их анализа использовали программу SigmaPlot 15.0 (Grafiti). Статистически значимые различия между группами клеток определяли с использованием критериев Mann-Whitney или ANOVA on Ranks в программе Sigma Plot 15.0.

РЕЗУЛЬТАТЫ И ОБСУЖДЕНИЕ

Механизм трансдукции сигнала АСh в клетках WT-HEK. Из ряда использовавшихся агонистов клетки линии HEK-293 (далее WT-HEK для единообразия) генерировали Ca^{2+} -ответы на ATP (67,8%), аденозин (1,2%), ACh (76,4%), норадреналин (2,4%), UTP (0,6%), ГАМК (0,6%), тогда как на гистамин, дофамин и серотонин Ca^{2+} -ответы не детектировались. Поскольку ACh инициировал Ca^{2+} -ответы в большинстве клеток WT-HEK, именно этот агонист был выбран в качестве основного для данного исследования.

Множественные факты свидетельствуют о том, что повышение концентрации внутриклеточного Ca^{2+} обусловлено двумя процессами — входом наружного Ca^{2+} и выбросом Ca^{2+} из внутриклеточных депо. В клетках млекопитающих функционируют два типа рецепторов ACh — мускариновые GPCR-рецепторы и никотиновые ионотропные рецепторы, которые являются ACh-активируемыми катионными каналами, проницаемыми для ионов Ca^{2+} (*Noviello et al.*, 2021). Кроме того, Ca^{2+} может поступать в клетку через рецептор-управляемые каналы, проницаемые для Ca^{2+} (*Harteneck, Gollasch*, 2011).

Мы показали, что Ca^{2+} -ответы клеток WT-HEK на ACh блокируются в присутствии антагониста M3-рецептора 4-DAMP (Рис. 1A, Б), сохраняются в

среде с низким содержанием Ca²⁺, полностью блокируются ингибитором PLC U73122 (Рис. 1В) и ингибитором IP₃-рецепторов ксестоспонгином С (Рис. 1Г). Перечисленное однозначно свидетельствует о том, что клетки WT-HEK в ответ на стимуляцию ACh генерируют Ca²⁺-сигналы посредством активации M3рецептора, которая приводит к активации классического фосфоинозитидного каскада, в результате которого Ca²⁺ высвобождается из депо через IP₃рецепторы. Следует отметить, что Ca²⁺-ответы клеток WT-HEK на ACh обладали интересной особенностью, а именно генерировались по принципу «всё или ничего» (Рис. 1Д). Иными словами, клетки не отвечали на подпороговые концентрации ACh, тогда как при любых концентрациях ACh, превышающих порог, генерировались Са²⁺-сигналы примерно одинаковой амплитуды. Ранее в нашей лаборатории было установлено, что мезенхимные стромальные клетки человека генерируют Ca²⁺-сигналы такого типа, используя механизм CICR (Kotova et al., 2018, Cherkashin et al., 2022, Kaimachnikov et al., 2021). Для подтверждения работы данного механизма в клетках WT-HEK мы Ca^{2+} -сигналов, регистрацию стимулируемых повышением концентрации IP₃ в их цитозоле (IP₃-uncaging). Клетки нагружали Fluo-8 для мониторинга внутриклеточного Ca²⁺ и фоточувствительным предшественником IP₃ caged-Ins(145)P3, фотолиз которого вспышками УФ приводил к импульсному высвобождению IP₃ в цитозоле клеток. Клетки WT-НЕК генерировали одинаковые по амплитуде Ca²⁺-сигналы в ответ на вспышки УФ длительностью 0.5 и 1.5 с (Рис. 2A, B) — это указывает на то, что зависимость амплитуды Ca²⁺-ответа от инициирующей концентрации IP₃ носит пороговый характер «всё или ничего».

Перечисленные выше результаты экспериментов убедительно свидетельствуют о том, что механизм СІСЯ при участии IP_3 -рецепторов может обеспечивать постоянство амплитуды Ca^{2+} -ответов на агонисты. Между тем, клетки WT-HEK экспрессируют все три изоформы IP_3 -рецептора, а экспрессия участников фосфоинозитидного каскада одинакова в клетках всех линий (*Kochkina et al.*, 2024). Поэтому оставалось неясным, опосредована ли реакция «всё или ничего» активностью конкретной изоформы IP_3 -рецептора, или каждая из них способна обеспечивать этот вид Ca^{2+} -сигналов, индуцированных агонистом. Ответить на этот вопрос мы попытались в экспериментах, описанных ниже.

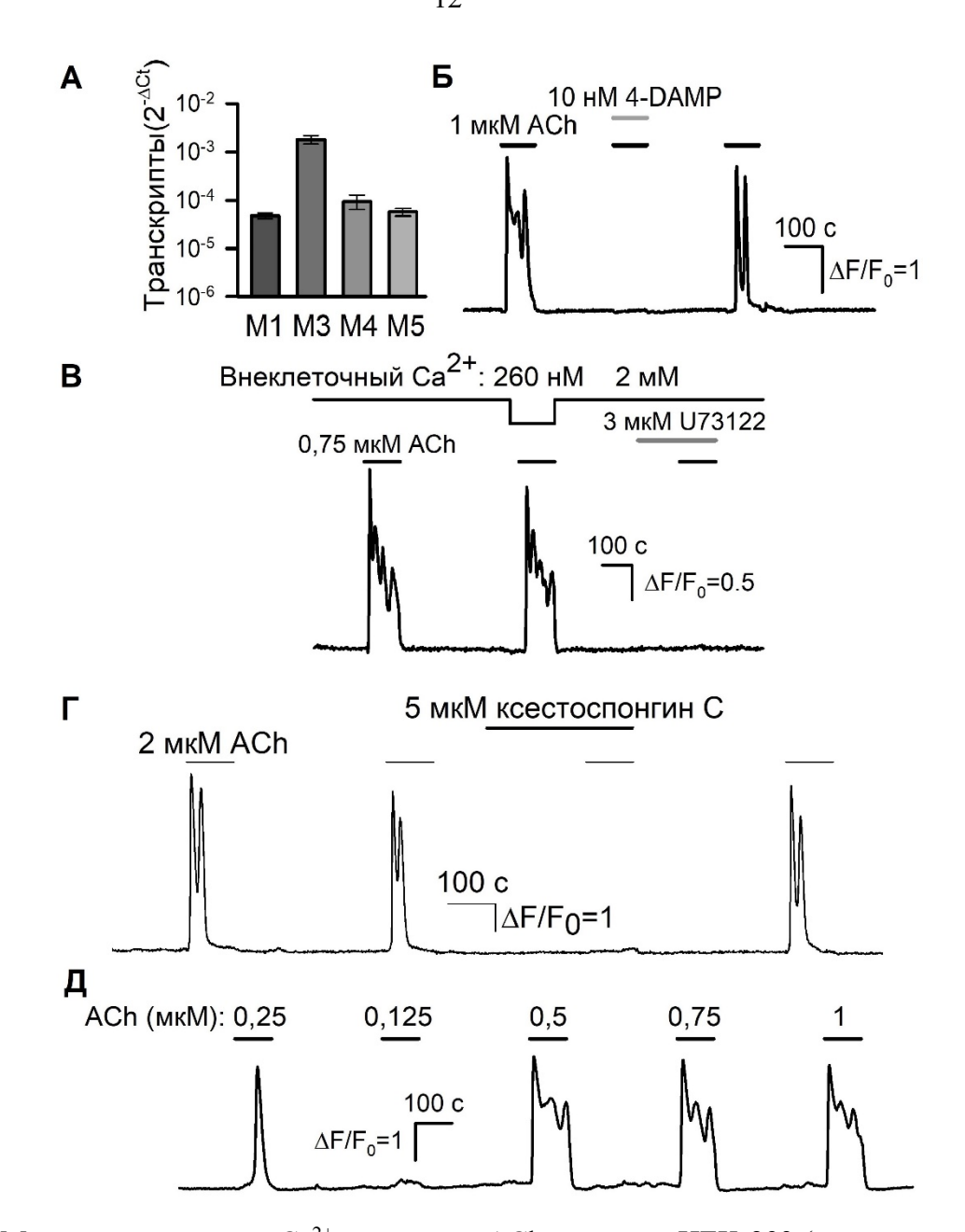


Рисунок 1. Механизм генерации Ca^{2+} -ответов на ACh клетками HEK-293 (здесь и далее WT-HEK) (адаптировано из *Kochkina et al.*, 2024).

- **A** Относительные уровни транскриптов мускариновых рецепторов в клетках WT-HEK (среднее \pm стандартное отклонение, n=3), референтный ген актин (данные Коваленко Н.П.).
- \mathbf{b} Антагонист мускариновых M3-рецепторов 4-DAMP подавлял Ca²⁺-ответы на ACh.
- **B** Ответы на ACh сохранялись в среде с низким содержанием Ca^{2+} , ингибитор PLC U73122 блокировал ответы. Верхняя линия иллюстрирует изменения концентрации внеклеточного Ca^{2+} .
- Γ Антагонист IP₃-рецепторов ксестоспонгин C обратимо подавлял Ca²⁺-ответы на ACh.
- \mathbf{I} \mathbf{Ca}^{2+} -ответы на ACh (0,125—1 мкМ) генерировались по принципу «всё или ничего».
- Здесь и далее на рисунках представлены репрезентативные регистрации Ca²⁺-ответов одиночных клеток, начало и длительность стимуляций обозначены отрезками прямой над кривой регистрации.

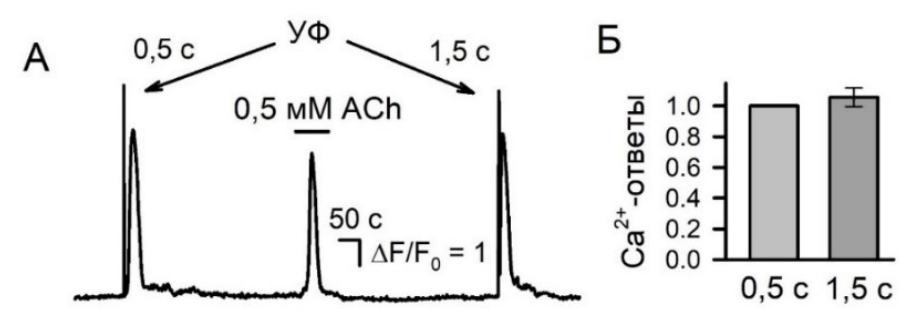


Рисунок 2. Са²⁺-ответы, инициируемые фотовысвобождением IP₃ (адаптировано из *Kochkina et al.*, 2024). **А** – Репрезентативный мониторинг внутриклеточного Ca²⁺ в одиночной клетке WT-HEK, загруженной одновременно caged-Ins(145)P3/PM и Fluo-8. Вспышки УФ (355 нм) инициировали импульсное повышение концентрации IP₃ в цитозоле клетки, что инициировало Ca²⁺-сигналы, сходные с ответом на ACh. Увеличение длительности вспышки с 0,5 с до 1,5 с незначительно влияло на величину и форму Ca²⁺-сигнала. **Б** – Относительные величины Ca²⁺-ответов на УФ импульсы длительностью 0,5 с и 1,5 с. Для усреднения по разным экспериментам ответ на 0,5 с вспышку принят за 1. Данные представлены как среднее \pm стандартное отклонение (n=26).

Анализ Са²⁺-сигнализации в клетках IP₃R1-, IP₃R2-, IP₃R3- и ТКО-НЕК. Как и в случае клеток WT-HEK (Рис. 1), кратковременная аппликация АСh инициировала импульсные Са²⁺-сигналы в цитоплазме клеток IP₃R1-, IP₃R2- и IP₃R3-HEK (Рис. 3A). Клетки всех этих типов генерировали ответы на АСh по принципу «всё или ничего», что предполагает их формирование при участии механизма СІСR (*Kaimachnikov et al.*, 2021) и свидетельствует о способности каждой из трёх изоформ IP₃-рецептора поддерживать механизм СІСR. Этот вывод из наших экспериментов и математического моделирования (*Каітасhnіkov et al.*, 2021) согласуется с исследованиями Са²⁺-сигнализации в клетках с одной функциональной изоформой IP₃-рецептора, проводившимися в других лабораториях (*Mataragka, Taylor*, 2018, *Lock, Parker*, 2020).

В качестве дополнительного контроля мы провели ряд экспериментов с клетками линии ТКО-НЕК, в которой были инактивированы все три гена IP_3 -рецептора. Как и ожидалось, данные клетки не генерировали Ca^{2+} -ответы при стимуляции ACh и ATP по отдельности или совместно (Рис. 4), тогда как аппликация иономицина (5 мкМ) инициировала значительный Ca^{2+} -сигнал, свидетельствуя о функциональности системы мониторинга внутриклеточного Ca^{2+} . Таким образом, наши данные показывают, что экспрессия хотя бы одной изоформы IP_3 -рецептора необходима и достаточна для генерации Ca^{2+} -ответов на ACh. Это верифицирует вывод ингибиторного анализа о том, что фосфоинозитидный каскад играет принципиальную роль (Рис. 1).

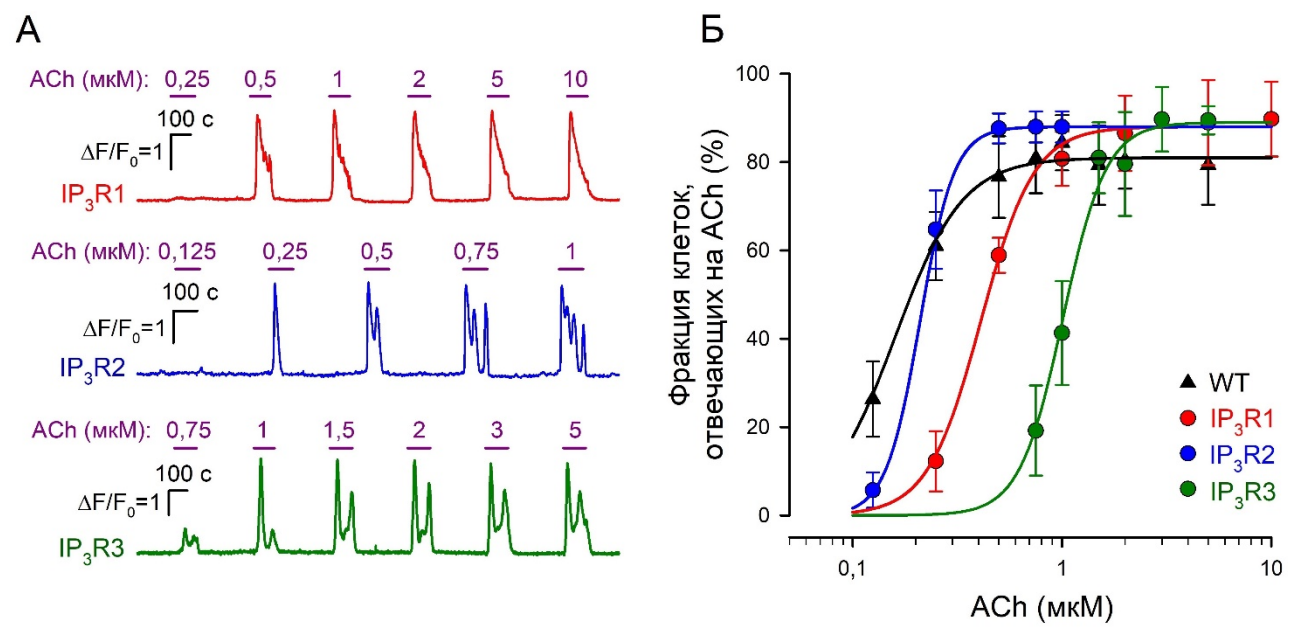
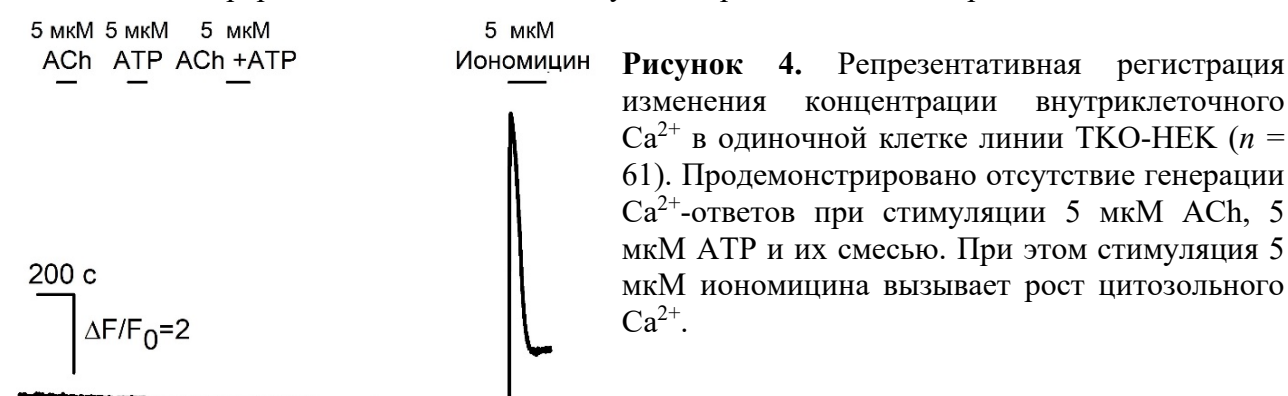


Рисунок 3. Зависимости Ca^{2+} -ответов клеток IP_3R1 -HEK, IP_3R2 -HEK, IP_3R3 -HEK и WT-HEK от концентрации ACh (адаптировано из *Kochkina et al.*, 2024). **A** — Репрезентативные регистрации внутриклеточного Ca^{2+} в одиночных клетках IP_3R1 -HEK (n = 191), IP_3R2 -HEK (n = 178) и IP_3R3 -HEK (n = 164) (здесь и далее на рисунках будут обозначены как IP_3R1 , IP_3R2 и IP_3R3 , соответственно). ACh использовался в дозах как указано. **Б** — Фракции ACh-чувствительных клеток в популяциях WT-HEK (n = 256), IP_3R1 -HEK (n = 191), IP_3R2 -HEK (n = 178) и IP_3R3 -HEK (n = 164). Данные представлены как среднее значение \pm стандартное отклонение. Непрерывные линии соответствуют аппроксимации экспериментальных данных.



Несмотря на схожий характер Ca^{2+} -ответов на ACh, клетки линий IP_3R1 -, IP_3R2 - и IP_3R3 -НЕК с единственной функциональной изоформой IP_3 -рецептора демонстрировали разную чувствительность к агонисту (Рис. 3A). Поскольку в каждой клетке Ca^{2+} -ответы на ACh при варьируемых дозах были идентичны по амплитуде (Рис. 3A), кривые дозо-зависимости ответов строили как зависимость фракции (%) клеток в популяции (100%), отвечающих на агонист при данной его концентрации (Рис. 3Б). В результате аппроксимации экспериментальных зависимостей (символы) уравнением Хилла (сплошные линии) значения EC_{50} ACh для клеток WT-, IP_3R1 -, IP_3R2 -, и IP_3R3 -НЕК составили 0,16, 0,41, 0,21, и 1,01 мкМ, соответственно. Таким образом,

чувствительность к ACh анализируемых клеточных линий можно описать рядом: WT-HEK \approx IP₃R2-HEK > IP₃R1-HEK

Клетки всех линий в ответ на ACh генерировали Ca²⁺-сигналы с явной задержкой (τ_d) относительно момента аппликации агониста (Puc. 5A), которая заметно уменьшалась с увеличением концентрации агониста, и эта зависимость была достаточно специфична для клеток отдельных линий (Рис. 5Б). Проведённое нами ранее моделирование процесса трансдукции сигналов Са²⁺мобилизующих агонистов показало, что задержка Ca²⁺-ответов определяется скоростью стимул-зависимой генерации IP_3 и аффинностью к нему IP_3 рецепторов (Kaimachnikov et al., 2021). Поскольку в большей дозе агонист стимулирует больше рецепторов, а значит, увеличивает скорость продукции IP₃, то это объясняет, почему задержка падает с увеличением дозы агониста. Как и предсказывали вычислительные эксперименты, расположение задержек на оси концентраций, полученное для клеток IP₃R1-HEK, IP₃R2-HEK и IP₃R3-НЕК (Рис. 5Б), полностью соответствует ряду аффинностей рецепторов к ІР₃ (Mikoshiba, 2007, Parys et al., 2021, Saleem et al., 2013, Smith, Taylor 2023): $IP_3R2 > IP_3R1 > IP_3R3$. То же соответствие имело место и для кривых доза-ответ (Рис. 3Б). Поэтому представляется, что именно чувствительность конкретной изоформы IP₃-рецептора к IP₃ является доминантным фактором, определяющим кривые доза-ответ и доза-задержка, характерные для клеточной линии, в которой она экспрессируется.

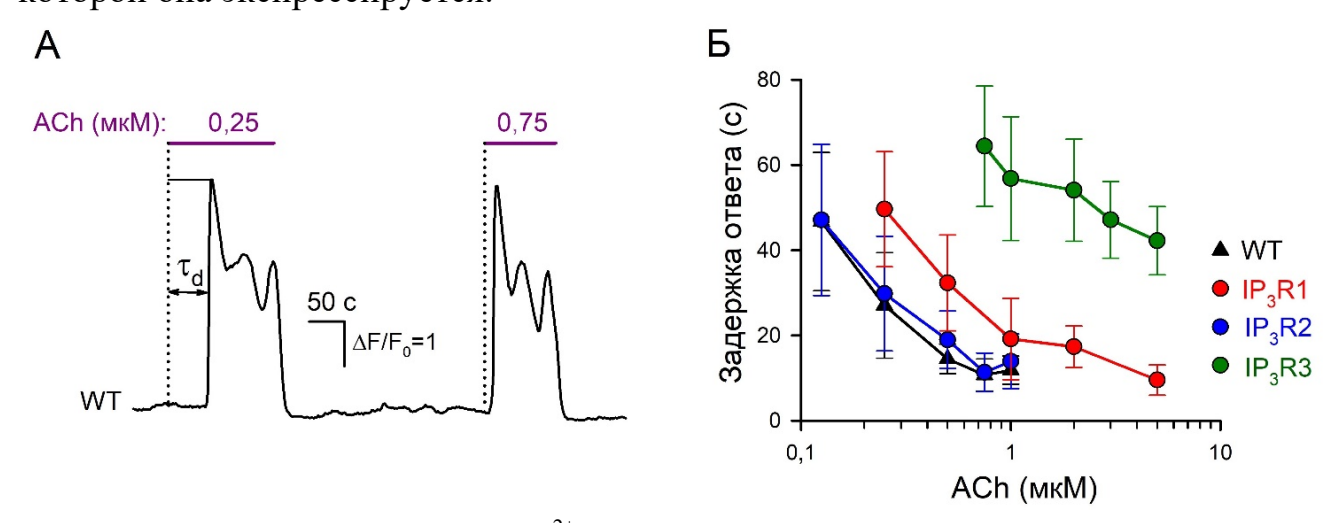


Рисунок 5. Зависимость задержки Ca^{2+} -ответов клеток исследуемых линий на ACh от его концентрации (адаптировано из *Kochkina et al.*, 2024). **A** – Репрезентативные ответы индивидуальной клетки WT-HEK на ACh в концентрациях 0,25 мкМ (околопороговая концентрация) и 0,75 мкМ. Приведённые ответы имели задержку от момента аппликации ACh 52 и 14 с, соответственно. Характерное время задержки ответа (τ_d) определяли как интервал времени, необходимый для достижения Ca^{2+} -ответом половины своего максимального значения. **Б** – Зависимость времени задержки ответа от концентрации агониста. Данные представлены как среднее \pm стандартное отклонение (n = 61, 56, 58 и 49 для WT-, IP_3R1 -, IP_3R2 - и IP_3R3 -HEK, соответственно).

Оценка вклада IP₃R1, IP₃R2 и IP₃R3 в утечку депонированного Ca^{2+} в клетках WT-, IP₃R1-, IP₃R2-, IP₃R3- и TKO-HEK. Клетки используют несколько транспортных систем для поддержания стационарного уровня Ca^{2+} в цитозоле в покое и для генерации Ca^{2+} -сигналов в ответ на внешние стимулы (Berridge et al., 2003, Carreras-Sureda et al., 2018). Уровень цитозольного Ca^{2+} определяется потоками Ca^{2+} через плазмалемму, мембраны P и Ca^{2+} -аккумулирующих органелл, включая митохондрии, кислые лизосомы и аппарат Гольджи. На плазматической мембране функционирует множество Ca^{2+} -проницаемых каналов, в том числе депо-управляемые Ca^{2+} -каналы (SOC-каналы), плазматическая Ca^{2+} -АТРаза PMCA и Na^+/Ca^{2+} -обменник, тогда как проницаемость мембраны P для P для P для P детерминируется P рецепторами, каналами P саP утечки и P для P для P для P детерминируется P рецепторами, каналами P саP утечки и P для P для P для P детерминируется P рецепторами, каналами P утечки и P для P для P для P детерминируется P рецепторами, каналами P утечки и P для P для P детерминируется P рецепторами,

Для выяснения роли спонтанной активности IP₃-рецепторов в утечке Ca²⁺ ЭР мы использовали классический тапсигаргиновый тест. Клетки инкубировали в присутствии 1 мкМ тапсигаргина, ингибирующего SERCA, в условиях пониженного внеклеточного Са²⁺ (260 нМ), что снижало поток наружного Ca^{2+} на четыре порядка, делая его вклад во внутриклеточные Ca^{2+} сигналы пренебрежимым. В этих условиях Са²⁺-сигналы, инициируемые аппликацией тапсигаргина (Рис. 6Б), были вызваны утечкой Са²⁺ из ЭР, опустошению Ca^{2+} -депо, которое приводившей К свою стимулировало активность SOC-каналов, что, однако, не сопровождалось детектируемым депо-управляемым Ca^{2+} -входом (store-operated Ca^{2+} entry, SOCE) за счёт низкого Ca^{2+} во внеклеточном растворе. После инкубации с тапсигаргином в течение промежутка времени, обеспечивающего релаксацию внутриклеточного Ca²⁺ до исходного уровня (900 с в случае клеток ТКО-НЕК и 600 с в случае клеток остальных линий), концентрацию внеклеточного Ca²⁺ возвращали к 2 мМ, инициируя существенный SOCE и заметные Ca²⁺-ответы (Рис. 6Б, верхняя кривая).

Для количественного описания выброса Ca^{2+} из депо и входа наружного Ca^{2+} кривые регистрации Ca^{2+} -сигналов в отдельных клетках (Рис. 6Б, верхняя кривая) дифференцировали, что позволяло оценить максимальные скорости выброса Ca^{2+} (R_r — release rate) и входа Ca^{2+} (R_e — entry rate) по соответствующим локальным максимумам на кривой $d(F/F_0)/dt$ (Рис. 6Б, пики на нижней кривой).

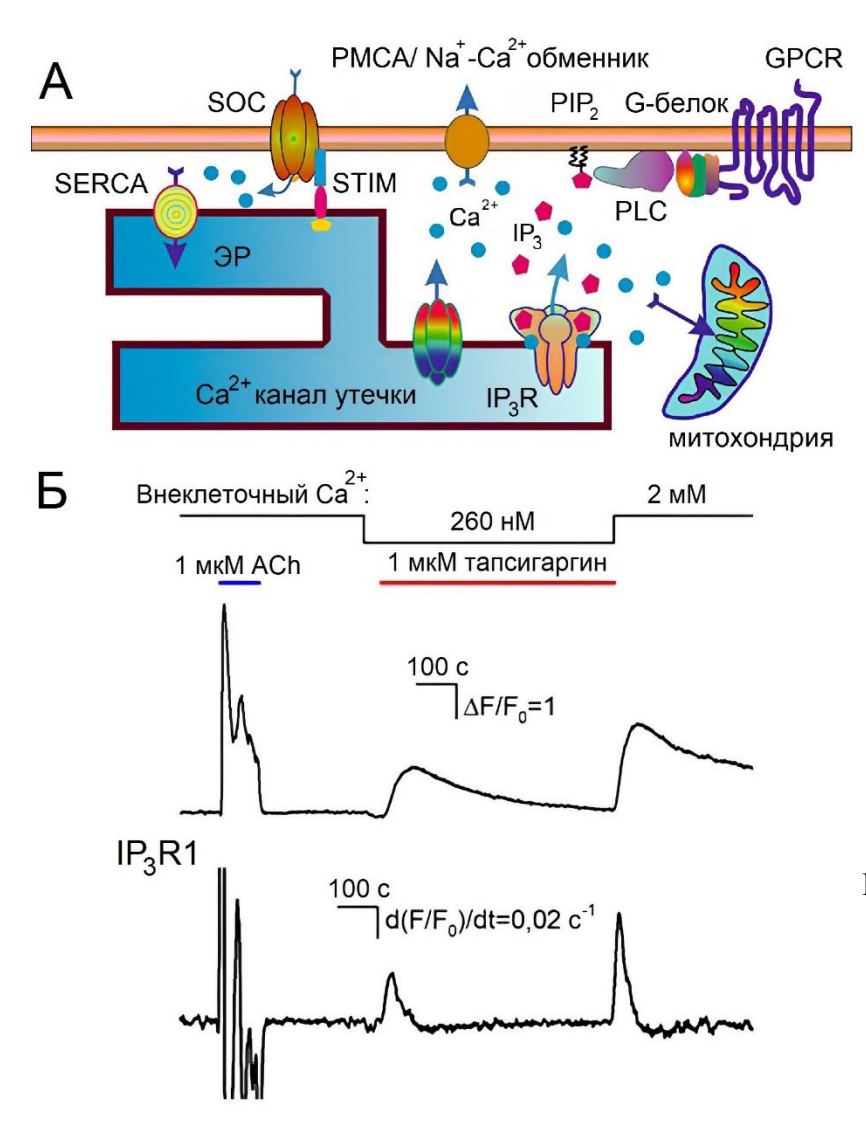


Рисунок 6. Ca^{2+} -сигналы, ингибированием связанные **SERCA** тапсигаргином истощением запасов Ca²⁺ в ЭР (адаптировано из Kochkina et al., 2024). демонстрирующая основные процессы, вносящие вклад в Ca^{2+} -гомеостаз. Б, верхняя Репрезентативные кривая Ca^{2+} -сигналов, регистрации вызванных в клетках ІР₃R1-НЕК (n = 135) в присутствии 1 мкМ контроле, ACh тапсигаргина при 260 нМ Ca²⁺ во внеклеточном растворе возвратом к концентрации Са²⁺ 2 мМ во внеклеточном растворе после опустошения Са²⁺-депо в течение 600 с.

Б, нижняя кривая — Производная $d(F/F_0)/dt$ верхней кривой. Максимальные значения первого и второго пиков принимали за скорость высвобождения Ca^{2+} (R_r) и входа Ca^{2+} (R_e) соответственно.

Ha основании этих данных МЫ построили ряд гистограмм, характеризующих распределение R_r и R_e среди клеток разных линий. Все полученные гистограммы были сложными в том смысле, что для их удовлетворительной аппроксимации требовалась комбинация 2 или 3 функций Гаусса (Рис. 7), что может говорить о наличии 2-3 клеточных субпопуляций, различающихся интенсивностью утечки Ca²⁺ и SOCE. Экспериментальные гистограммы выявили различия между клетками WT-, IP₃R1-, IP₃R2- и IP₃R3-НЕК как по высвобождению Ca²⁺, индуцированному тапсигаргином, так и по SOCE. В частности, гистограммы R_r для клеток WT- и IP_3R3 -HEK были шире и сдвинуты вправо по сравнению с гистограммами R_r , полученными для клеток IP₃R1-, IP₃R2- и ТКО-НЕК (Рис. 7, левые панели). Это указывало на то, что утечка Ca²⁺ в клетках WT- и IP₃R3-HEK была более интенсивной, чем в клетках IP₃R1-, IP₃R2- и ТКО-НЕК.

Гистограммы, полученные для SOCE, наблюдаемого после опустошения Ca^{2+} -депо, также были достаточно специфичны для индивидуальных клеточных

линий (Рис. 7, правые панели). В то время как клетки IP₃R1- и IP₃R3-НЕК были сопоставимы по распределению и среднему значению SOCE после истощения Ca²⁺-депо тапсигаргином, активность SOCE была выше в клетках IP₃R2- и WT-НЕК, где IP₃R2 является функционально доминирующей изоформой (*Kochkina et al.*, 2024), а также в клетках ТКО-НЕК. Вероятно, IP₃R2 функционально сопряжены с Ca²⁺-каналами, опосредующими SOCE в клетках WT- и IP₃R2-НЕК. По литературным данным, постоянная утечка Ca²⁺ из ЭР опосредуется несколькими белками (*Carreras-Sureda et al.*, 2018, *Wang et al.*, 2016), а также спонтанной активностью IP₃-рецепторов и рианодиновых рецепторов (*Camello et al.*, 2002).

Учитывая приведённые выше факты, значительный SOCE в случае клеток TKO-HEK можно объяснить минимальной Ca^{2+} -утечкой в отсутствие IP_3 -рецепторов, которая приводит к менее интенсивному снижению уровня Ca^{2+} в ЭР, вследствие чего индивидуальные SOC-каналы относительно менее активны. Отметим, что в невозбудимых клетках SOC-каналы являются существенным фактором входа наружного Ca^{2+} , поэтому для поддержания физиологически адекватного уровня цитозольного Ca^{2+} в покое требуется большее количество SOC-каналов, если активность индивидуальных каналов меньше.

Оценка Са²⁺-проницаемости мембраны ЭР. Используя данные о скоростях выброса Ca^{2+} из ЭР в условиях тапсигаргинового теста (Рис. 6, 7), мы попытались оценить вклад IP_3 -рецепторов в Ca^{2+} -утечку. Гистограмма начальных скоростей выброса Ca²⁺ для клеток IP₃R3-НЕК была сдвинута вправо по отношению к гистограммам, полученным для клеток IP₃R1-HEK и IP₃R2-НЕК (Рис. 7, левые панели), тогда как изоформа IP₃R3 характеризуется существенно меньшей аффинностью к ІР3, а значит, должна иметь наименьшую спонтанную активность при прочих равных условиях. Поэтому можно было ожидать, что Ca^{2+} -проницаемость мембраны ЭР в клетках IP_3R3 -HEK должна была быть наименьшей, что, на первый взгляд, не соответствовало факту, что клетки IP₃R3-НЕК показали в среднем большие начальные скорости выброса Са²⁺, индуцированного тапсигаргином (Рис. 7, левая панель). Следует отметить, что скорость выброса Ca²⁺ зависит не только от проницаемости мембран ЭР для ионов Ca^{2+} , но и от уровня депонированного Ca^{2+} . Таким образом, скорость высвобождения Ca^{2+} не может служить независимым показателем проницаемости ЭР для Са²⁺.

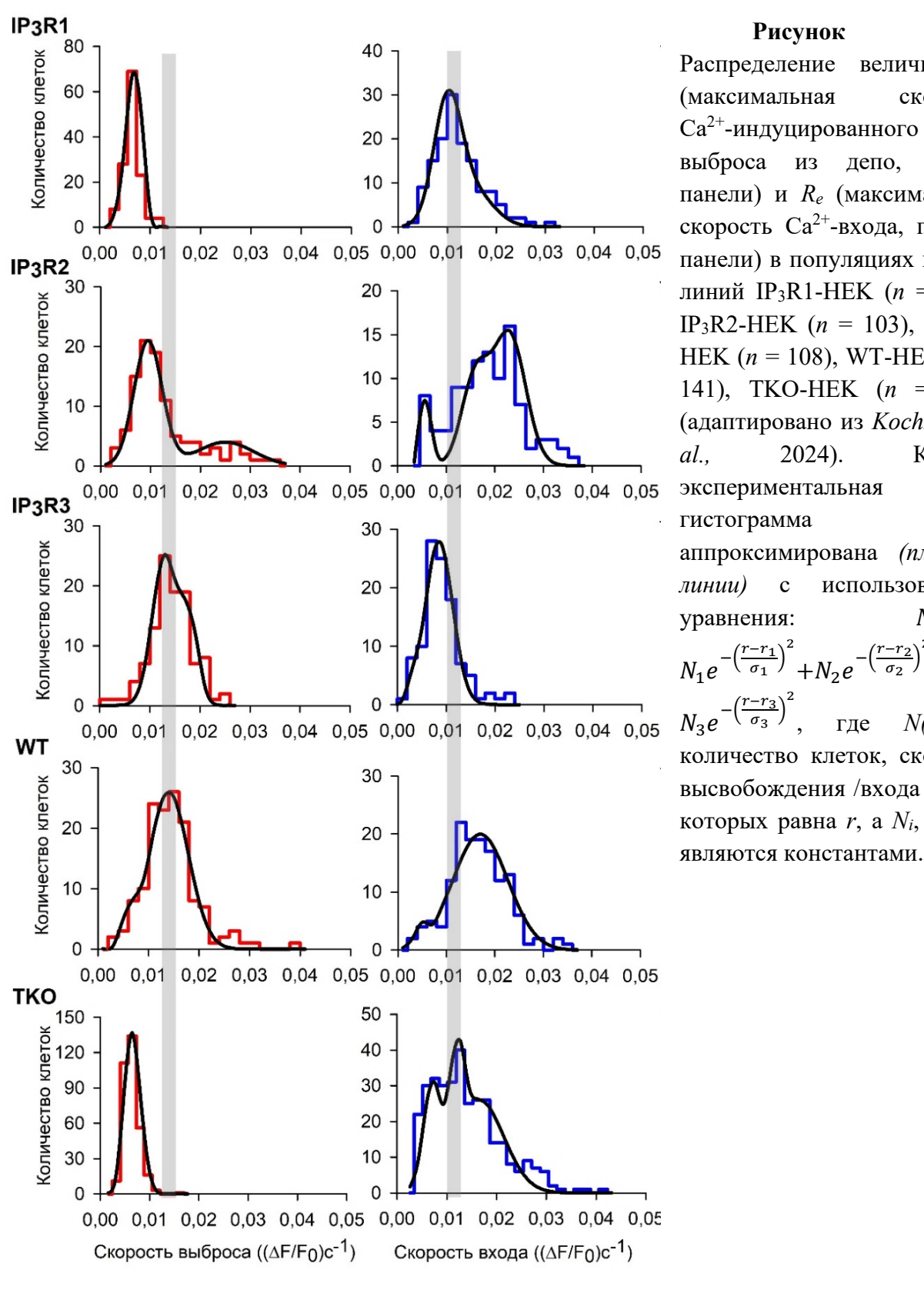


Рисунок 7. Распределение величин (максимальная скорость Ca^{2+} -индуцированного Ca^{2+} выброса из депо, панели) и R_e (максимальная скорость Са²⁺-входа, правые панели) в популяциях клеток линий IP_3R1 -НЕК (n = 136), IP_3R_2-HEK (n = 103), IP_3R_3- HEK (n = 108), WT-HEK (n =141), TKO-HEK (n = 332) (адаптировано из Kochkina et al., 2024). Каждая экспериментальная гистограмма была аппроксимирована (плавные линии) cиспользованием N(r) =уравнения: $N_1 e^{-\left(\frac{r-r_1}{\sigma_1}\right)^2} + N_2 e^{-\left(\frac{r-r_2}{\sigma_2}\right)^2}$ где количество клеток, скорость высвобождения /входа Са²⁺ в которых равна r, а N_i , r_i и σ_i Для решения этой проблемы мы редуцировали модель агонистиндуцированной Ca^{2+} -сигнализации (*Kaimachnikov et al.*, 2021, Приложение диссертации), чтобы описать Ca^{2+} -сигналы, цитозольные и ретикулярные, в условиях тапсигаргинового теста. В итоге нами было получено соотношение для оценки относительной Ca^{2+} -проницаемости P мембраны P, в соответствии с которым P пропорционально отношению:

$$P \sim \frac{\frac{dC}{dt}(0)}{\int_0^T Cdt} \tag{1}$$

где C — концентрация цитозольного Ca^{2+} ; $\frac{dC}{dt}(0)$ — начальная (т.е. в момент времени t=0) скорость роста концентрации цитозольного Ca^{2+} за счёт Ca^{2+} утечки при ингибировании SERCA тапсигаргином; $\int_0^T Cdt$ — площадь под кривой выброса Ca^{2+} ; T — временной интервал, необходимый для релаксации цитозольного Ca^{2+} к исходному уровню (Рис. 8A).

Так как флуоресценция Fluo-8 была значительно ниже уровня насыщения (Ca²⁺-сигналы были в 50 раз меньше динамического диапазона зонда (*McMahon, Jackson,* 2014), то измеряемый параметр $\Delta F/F_0$ можно было считать пропорциональным концентрации цитозольного Ca²⁺. Для каждой анализируемой клетки мы оценили как начальную скорость высвобождения Ca²⁺ (Рис. 6Б, нижняя панель), так и площадь под кривой, характеризующей степень выхода Ca²⁺ из депо (Рис. 8А, заштрихованная область). Как показано на соответствующих гистограммах, тапсигаргин индуцировал гораздо более масштабное высвобождение Ca²⁺ в клетках IP₃R3-HEK (Рис. 8Г, средняя панель) по сравнению с клетками IP₃R1-, IP₃R2- и ТКО-НЕК (Рис. 8Б, В, Д, средние панели).

Затем с использованием уравнения 1 были рассчитаны относительные значения Ca^{2+} -проницаемости мембраны ЭР для каждой клетки и получено их распределение среди клеток определенного подтипа (Рис. 8Б–Д, правые панели). В итоге были получены следующие оценки относительных значений (P) Ca^{2+} -проницаемости мембраны ЭР для клеток IP_3R1 -HEK, IP_3R2 -HEK, IP_3R3 -HEK и TKO-HEK:

$$P_{\text{IP3R1}}: P_{\text{IP3R2}}: P_{\text{IP3R3}}: P_{\text{TKO}} = 1:1,75:0,45:0,41$$

Таким образом, по относительной Ca^{2^+} -проницаемости мембраны ЭР, клетки различных линий должны располагаться как: IP_3R2 -HEK $> IP_3R1$ -HEK $> IP_3R3$ -HEK \approx TKO-HEK.

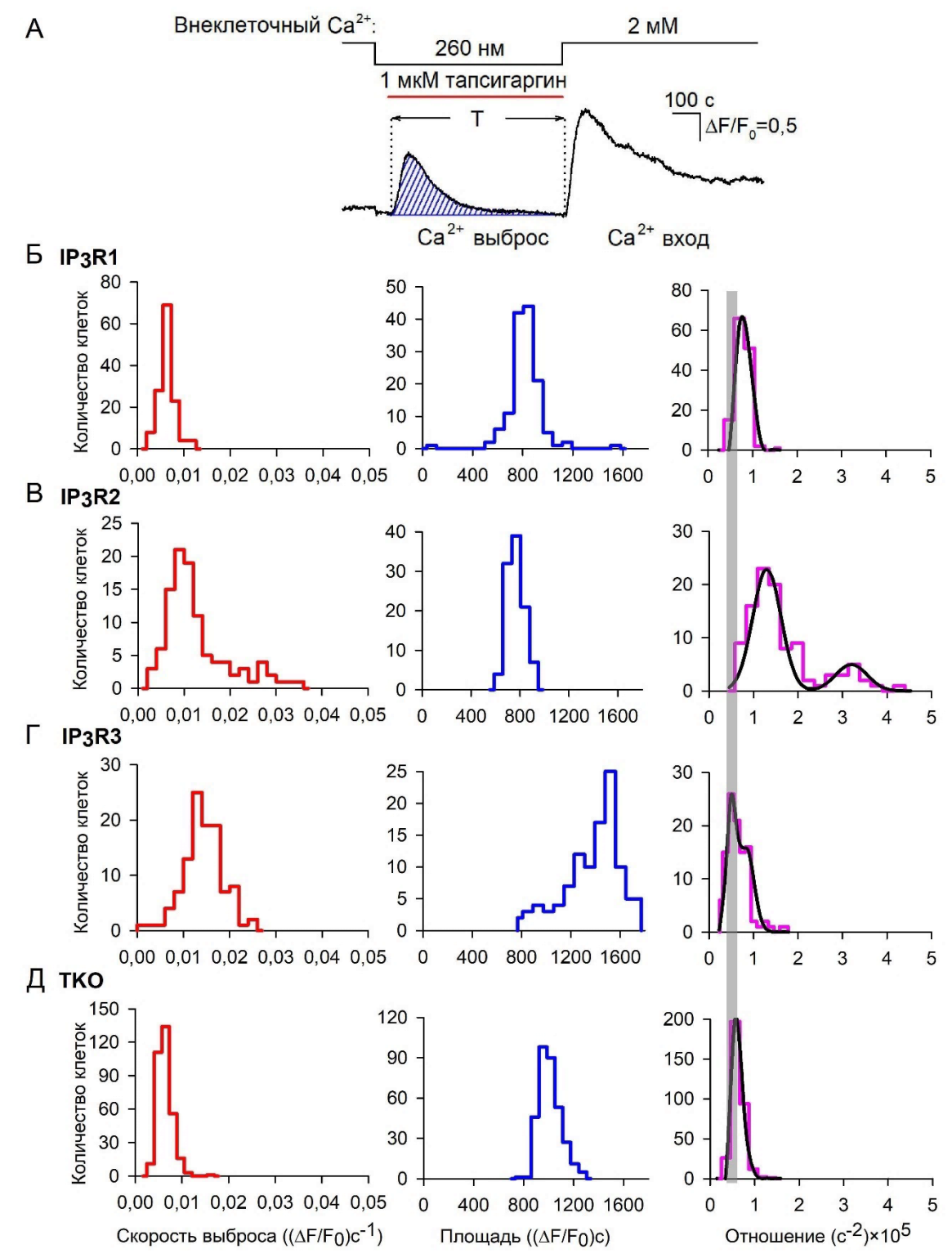


Рисунок 8. Оценка Ca^{2+} -проницаемости мембраны чувствительных к тапсигаргину Ca^{2+} -депо (адаптировано из *Kochkina et al.*, 2024). **А** — Колоколообразный Ca^{2+} -ответ, вызванный тапсигаргин-индуцированным высвобождением Ca^{2+} . Значение заштрихованной площади под кривой, соответствующее уравнению (1), рассчитывали численно. **Б**–Д — Распределение скоростей высвобождения Ca^{2+} (левые панели), площадей под кривыми высвобождения Ca^{2+} (средние панели) и их отношения (правые панели) среди популяций клеток IP_3R1 -HEK (n=125), IP_3R2 -HEK (n=101), IP_3R3 -HEK (n=117) и TKO-HEK (n=332). Экспериментальные гистограммы (правые панели) были аппроксимированы (плавные линии) с использованием уравнения: $N(r) = N_1 e^{-\left(\frac{r-r_1}{\sigma_1}\right)^2} + N_2 e^{-\left(\frac{r-r_2}{\sigma_2}\right)^2} + N_3 e^{-\left(\frac{r-r_3}{\sigma_3}\right)^2}$, где N(r) — количество клеток, отношение скорости и площади под кривой равно r, а N_i , r_i и σ_i являются константами.

Качественно последовательность для IP_3 -рецепторов идентична ряду вероятностей открытого состояния канала в условиях, близких к состоянию покоя в клетке (100 hM Ca^{2+} , 1 мкм IP_3), которые были оценены как $\sim 0,3,\,0,1$ и < 0,1 для одиночных каналов IP_3R2 , IP_3R1 и IP_3R3 , соответственно (Mak, Foskett, 2015). Такое соответствие можно было бы ожидать, если бы спонтанная активность IP_3 -рецепторов была существенным фактором утечки Ca^{2+} из 3P. Действительно, чем активнее IP_3 -рецепторы при базальном уровне IP_3 , тем выше отток Ca^{2+} , который он опосредует. Более того, данные, характеризующие высвобождение Ca^{2+} в течение 600- или 900-секундного интервала ($Puc.\,8\,$ Б-Д, средние панели), позволяют предположить, что уровень покоя Ca^{2+} в регулируемых IP_3 Ca^{2+} -депо в клетках IP_3R3 -НЕК существенно выше, чем в клетках IP_3R2 - НЕК и IP_3R1 -НЕК при условии, что объём 3P одинаков во всех случаях.

Клетки IP₃R1-, IP₃R2- и IP₃R3-НЕК с Са²⁺-сенсором R-СЕРІА1ет. Для более подробного изучения Ca²⁺-гомеостаза клетки полученных линий IP₃R1-, IP₃R2- и IP₃R3-НЕК трансфицировали плазмидным вектором, кодирующим Ca^{2+} -сенсор с ретикулярной локализацией R-CEPIA1er (Suzuki et al., 2014). Загрузка Fluo-8 в полученные клетки позволяла проводить одновременный независимый мониторинг цитозольного и ретикулярного Ca²⁺ (Рис. 9). ACh стимулировал Ca^{2+} -ответы в цитозоле клеток и синхронное падение ретикулярного Ca^{2+} , который возвращался близко к уровню покоя несмотря на присутствие в растворе агониста (Рис. 9 А-В). Са²⁺-ионофор иономицин (5 мкМ), добавленный в раствор с низким содержанием Са²⁺ (260 нМ), также запускал цитозольные сигналы Са²⁺ (Рис. 9 А-В), предположительно, вследствие проникновения через плазмалемму и увеличения проницаемости ретикулярной мембраны для Са²⁺. В этом случае низкий стационарный уровень ответа на иономицин должен был быть достигнут, когда потоки Ca^{2+} , опосредованные SERCA и иономицином, были уравновешены. Интересно, что в клетках IP₃R1- и IP₃R3-НЕК иономицин опустошал запасы Ca²⁺ в гораздо большей степени, чем ACh (Рис. 9A, B, нижние кривые). При этом в клетках IP₃R2-HEK ACh и иономицин снижали депонированный Ca²⁺ до сопоставимых уровней (Рис. 9Б).

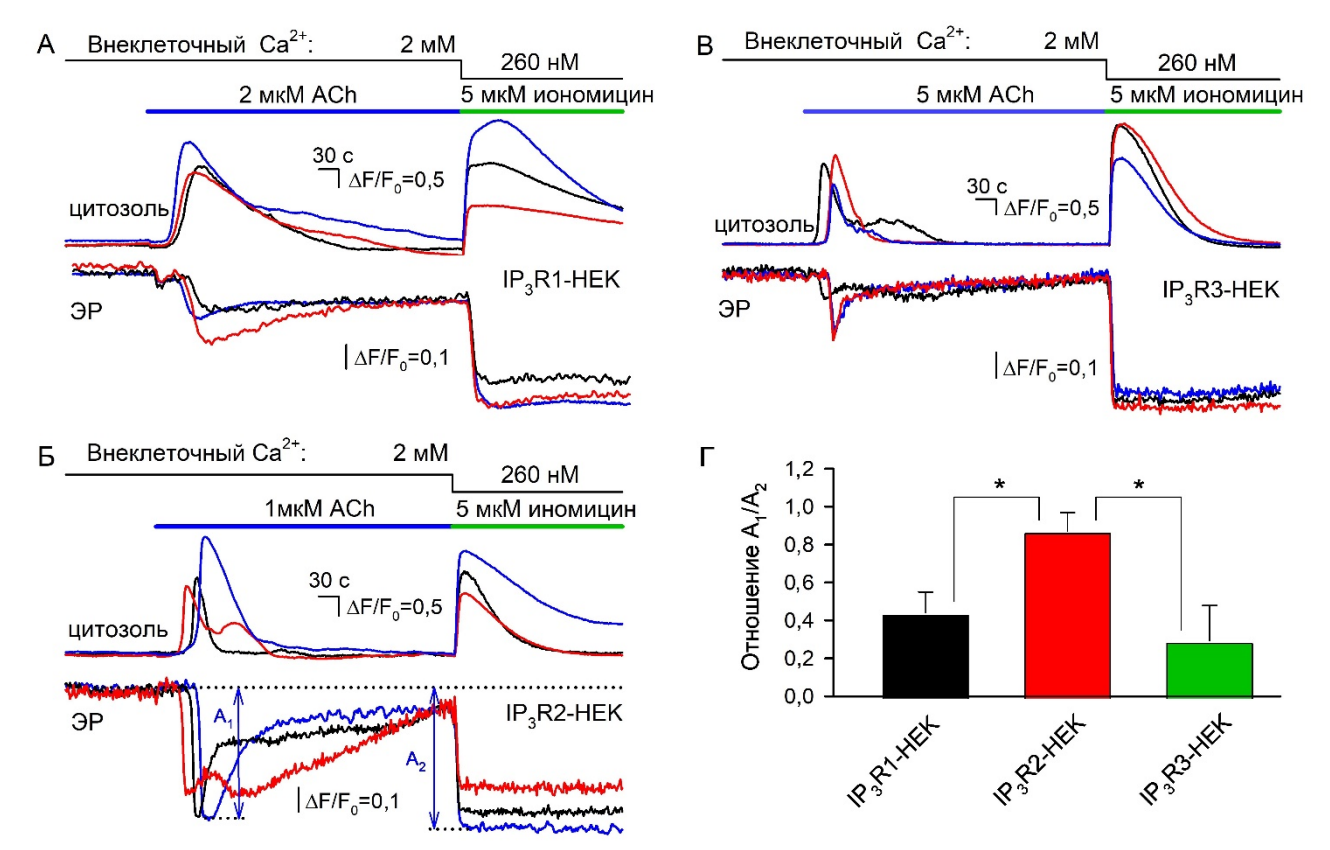


Рисунок 9. Одновременный мониторинг цитозольного и ретикулярного Ca^{2+} в клетках, загруженных Fluo-8 и экспрессирующих сенсор ретикулярного Ca^{2+} R-CEPIA1er (адаптировано из *Kochkina et al.*, 2024). **А-В** – Репрезентативные регистрации Ca^{2+} -ответов в цитозоле (верхние кривые) и в ЭР (нижние кривые) трёх одновременно анализируемых одиночных клеток линий IP_3R1 -HEK (**A**) (n = 59), IP_3R2 -HEK (**B**) (n = 71) и IP_3R3 -HEK (**B**) (n = 63). Во всех случаях клетки последовательно стимулировали ACh (при 2 мМ Ca^{2+}) и 5 мкМ иономицина (при 260 нМ Ca^{2+} во внеклеточном растворе). Для каждой клеточной линии концентрация ACh была выбрана так, чтобы она превышала EC_{50} (Рис. 3Б) примерно в 5 раз. Γ – Отношения ответов R-CEPIA1er на стимуляцию клеток ACh (A_1) и иономицином (A_2), величины которых были определены, как показано в (**Б**). Данные представлены как среднее \pm стандартное отклонение (n = 17). Звёздочки указывают на статистически значимую разницу (критерий ANOVA on Ranks, p < 0,01). Между клетками IP_3R1 -HEK и IP_3R3 -HEK статистически значимой разницы не было.

Это явление можно объяснить взаимодействием Ca^{2+} -связывающего белка аннексина A1 (ANXA1) и IP_3 -рецептора. Не связанный с ANXA1 IP_3 -рецептор активен, но при увеличении концентрации Ca^{2+} в просвете P (> 100 мкМ) ANXA1 ингибирует P_3 -рецепторы (P_3 -рецепторы высокой именно в клетках P_3 -Рецепторы (P_3 -рецепторы в клетках P_3 -Рецепторы в клетках P_3 -Рецепторы в клетках P_3 -Рецепторы в клетках других линий, при условии, что активность SERCA одинакова во всех клеточных группах. В этом случае, P_3 -рецепторы в клетках P_3 -Рецепторы в клетках P_3 -Рецепторы на более низкий меньшей степени ингибированы белком ANXA1, и несмотря на более низкий

уровень люминального Ca^{2+} , обеспечивают более интенсивную утечку Ca^{2+} по сравнению с IP_3 -рецепторами в клетках IP_3R1 -HEK и IP_3R3 -HEK.

ЗАКЛЮЧЕНИЕ

При всем разнообразии внеклеточных сигналов, выброс Ca^{2+} из депо через IP_3 -рецепторы является одним из ключевых и универсальных внутриклеточных событий в трансдукции сигналов многих из них. В рамках данной работы мы описали функциональные различия трёх изоформ IP_3 -рецептора с использованием полученных ранее в нашей лаборатории линий, в клетках которых экспрессируется единственная изоформа IP_3 -рецептора (IP_3R1 -HEK, IP_3R2 -HEK, IP_3R3 -HEK), а также линии TKO-HEK, клетки которой лишены IP_3 -рецепторов.

Мы показали, что клетки TKO-HEK не генерируют Ca²⁺-ответы при стимуляции агонистом, а клетки, экспрессирующие любую из трёх изоформ, как и клетки дикого типа, способны генерировать Са²⁺-ответы по механизму «всё или ничего». Иными словами, клетки либо не отвечали на агонисты при подпороговых концентрациях, либо генерировали Са²⁺-сигналы примерно равной амплитуды при дозах агониста выше пороговой. По отношению к моменту аппликации агониста Са²⁺-ответы генерировались с очевидной задержкой, которая градуально уменьшалась с увеличением дозы агониста. Вышеперечисленные факты свидетельствуют о том, что экспрессия хотя бы изоформы необходима И достаточна для генерации Ca^{2+} -сигналов, И индуцированных что все три изоформы способны поддерживать механизм Ca²⁺-индуцированного выброса депонированного Ca²⁺ (CICR).

Мы оценили чувствительность клеток к ACh, которая описывается рядом WT-HEK \approx IP₃R2-HEK > IP₃R1-HEK > IP₃R3-HEK. Для клеток с единственной функциональной изоформой IP₃-рецептора ряд IP₃R2-HEK > IP₃R1-HEK > IP₃R3-HEK идентичен ряду аффинностей IP₃-рецептора к IP₃: IP₃R2 > IP₃R1 > IP₃R3. Так как мы предполагаем, что экспрессия участников фосфоинозитидного каскада одинакова в клетках всех линий (см. Приложение 1 диссертации), то аффинность к IP₃ той изоформы IP₃-рецептора, которую экспрессируют клетки данной линии, является доминантным фактором, определяющим их чувствительность к агонистам.

С помощью разработанной методологии, мы также оценили относительную проницаемость мембран ЭР для ионов Ca^{2+} и показали, что по этому параметру клетки с единственной функциональной изоформой IP_3 -рецепторов ранжируются как IP_3R2 -HEK > IP_3R1 -HEK > IP_3R3 -HEK \approx TKO-HEK, что соответствует ряду для вероятностей открытого состояния

соответствующих типов IP_3 -рецептора в нестимулированных клетках: $IP_3R2 > IP_3R1 > IP_3R3$. Таким образом, спонтанная активность IP_3 -рецепторов, особенно IP_3R2 , может вносить заметный вклад в Ca^{2+} -утечку из P в нестимулированных клетках.

Также с использованием генетически кодируемого сенсора R-CEPIA1er мы оценили степень опустошения ЭР при стимуляции агонистом, которая, как оказалось, зависит от экспрессируемой в клетках изоформы IP₃-рецептора.

Таким образом, клетки линий IP_3R1 -HEK, IP_3R2 -HEK и IP_3R3 -HEK, а также их варианты, экспрессирующие генетически кодируемый сенсор ретикулярного Ca^{2+} , могут служить относительно простым и эффективным инструментом для поиска фармакологических средств воздействия на IP_3 -рецепторы, так как об их эффектах можно надёжно судить по клеточным ответам.

ВЫВОДЫ

- 1. При импульсной стимуляции ACh клетки WT-HEK генерируют Ca^{2+} -сигналы, амплитудная дозо-зависимость которых носит характер «всё или ничего», тогда как их задержки градуально уменьшаются по мере роста концентрации агониста. Ключевой вклад в генерацию Ca^{2+} -сигналов вносит Ca^{2+} -индуцированный выброс Ca^{2+} (CICR) при участии IP_3 -рецепторов.
- 2. Для генерации ACh-индуцированных Ca^{2+} -сигналов по принципу «всё или ничего» необходимо и достаточно, чтобы в клетке функционировала хотя бы одна из трёх изоформ IP_3 -рецептора. Все три изоформы способны поддерживать механизм CICR.
- 3. По чувствительности к ACh клетки моноклональных линий ранжируются как IP_3R2 -HEK > IP_3R1 -HEK > IP_3R3 -HEK, что коррелирует с аффинностями функционирующих IP_3 -рецепторов к IP_3 : IP_3R2 > IP_3R3 .
- 4. Разработана методология оценки относительной Ca^{2+} -проницаемости мембраны ЭР в нестимулированных клетках, позволившая показать, что базальная активность IP_3 -рецепторов вносит вклад в утечку депонированного Ca^{2+} и определяет его уровень в покое. Для клеток IP_3R1 HEK, IP_3R2 -HEK и IP_3R3 -HEK получен ряд: $P_{IP3R1}: P_{IP3R2}: P_{IP3R3} = 1:1,75:0,45$, что соответствует активностям изоформ в нестимулированных клетках.

СПИСОК ПУБЛИКАЦИЙ ПО ТЕМЕ ДИССЕРТАЦИИ

Статьи в рецензируемых периодических изданиях

- 1. **Kochkina E.N.**, Kopylova E.E., Rogachevskaja O.A., Kovalenko N.P., Kabanova N.V., Kotova P.D., Bystrova M.F., Kolesnikov S.S. Agonist-Induced Ca²⁺ Signaling in HEK-293-Derived Cells Expressing a Single IP3 Receptor Isoform. // Cells, Special Issue: Advances in Dissecting Calcium Signaling Pathways in Health and Diseases. 2024, 13(7), 562.
- 2. Быстрова М.Ф., Рогачевская О.А., **Кочкина Е.Н.**, Копылова Е.Е., Коваленко Н.П., Колесников С.С. IP₃-рецептор второго типа является доминантной изоформой в клетках НЕК-293. // Биологические мембраны. 2020. Т.37 (6). С.434-441.
- 3. Kaimachnikov N.P, Kotova P.D., **Kochkina E.N.**, Rogachevskaja O.A., Khokhlov A.A., Bystrova M.F., Kolesnikov S.S. (2021) Modeling of Ca²⁺ transients initiated by GPCR agonists in mesenchymal stromal cells BBA Advances 1, 100012.
- 4. **Кочкина Е.Н.**, Котова П.Д., Енукашвили Н.И., Колесников С.С. (2019) сGMP-зависимая протеинкиназа модулирует чувствительность мезенхимных стромальных клеток к пуринергическим агонистам. Биологические мембраны Т.36(4), 296-300. *Глава в книге*
- 5. Kotova P.D., Rogachevskaja O.A., Bystrova M.F., **Kochkina E.N.**, Ivashin D.S., Kolesnikov S.S. Calcium signaling initiated by agonists in mesenchymal stromal cells from the human adipose tissue. In: Calcium and Signal Transduction. Ed. Buchholz J.N., Intech Open, London, 2018, pp 139-163.

Статьи в сборниках конференций и тезисы докладов

- 6. **Кочкина Е.Н.**, Кабанова Н.В., Коваленко Н.П. Анализ роли изоформ IP3 рецепторов в генерации Ca²⁺ ответов на агонисты. // 24 Международная Пущинская школаконференция молодых ученых «Биология Наука XXI века». Пущино, Россия 2020. Сборник тезисов. С. 287.
- 7. **Кочкина Е.Н.**, Копылова Е.Е., Рогачевская О.А. Анализ роли изоформ IP3-рецепторов в агонист-индуцированной Ca^{2^+} -сигнализации в клетках HEK-293. // VII Съезд физиологов СНГ. Сочи, Дагомыс, 3–8 октября 2021. Сборник тезисов докладов. Том 1. С. 55.
- 8. **Кочкина Е.Н.**, Копылова Е.Е., Быстрова М.Ф., Колесников С.С. Агонистиндуцированная Ca^{2+} -сигнализация. Роль различных изоформ IP3-рецептора. // VII Съезд физиологов СНГ. Сочи, 3-8 октября 2022. Сборник тезисов докладов. Том 3. С. 94.
- 9. **Кочкина Е.Н.**, Копылова Е.Е., Колесников С.С. Роль различных изоформ IP₃-рецептора в агонист-индуцированной Ca²⁺-сигнализации. // 26 Международная Пущинская школаконференция молодых ученых «Биология Наука XXI века». Пущино, Россия 2023. Сборник тезисов. С. 225.
- 10. Копылова Е.Е., **Кочкина Е.Н.**, Рогачевская О.А., Кабанова Н.В., Быстрова М.Ф., Колесников С.С. Моноклональные клеточные линии с двойным нокаутом генов IP3-рецепторов. // XXIV съезд физиологического общества им. И.П. Павлова. Санкт-Петербург, 11–15 сентября 2023 г. Сборник тезисов. С. 109.
- 11. **Кочкина Е.Н.**, Копылова Е.Е., Рогачевская О.А., Колесников С.С. Агонистиндуцированная Ca^{2+} -сигнализация в клетках с единственной изоформой IP3-рецептора. // XXIV съезд физиологического общества им. И.П. Павлова. Санкт-Петербург, 11–15 сентября 2023 г. Сборник тезисов. С. 110.
- 12. **Кочкина Е.Н.**, Копылова Е.Е., Рогачевская О.А. Агонист-индуцированные Ca²⁺-сигналы в клетках НЕК-293 с единственной изоформой IP3-рецептора. Синхронный мониторинг цитозольного и ретикулярного Ca²⁺. // 27 Международная Пущинская школаконференция молодых ученых «Биология Наука XXI века». Пущино, Россия 2024. Сборник тезисов. С. 288.
- 13. **Кочкина Е.Н.**, Копылова Е.Е. Оценка вклада IP₃-рецепторов в Ca²⁺-утечку покоящихся клеток линии HEK-293. // 28 Международная Пущинская школа-конференция молодых ученых «Биология Наука XXI века». Пущино, Россия 2025. Сборник тезисов. С. 422.